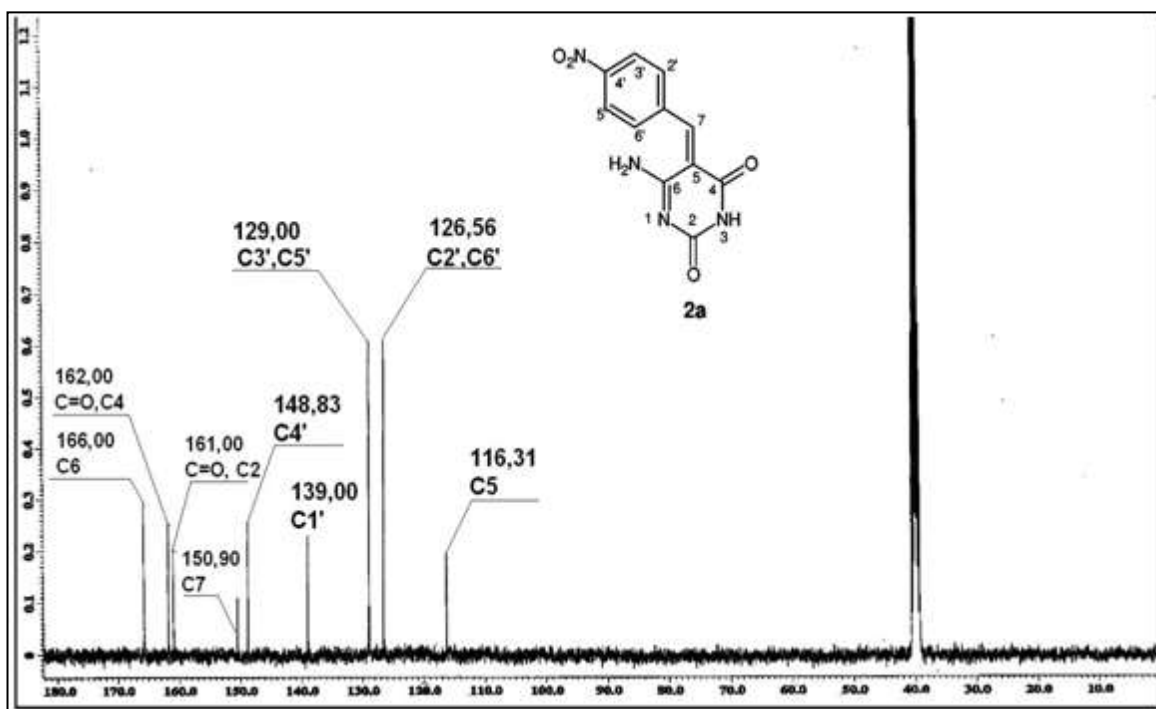
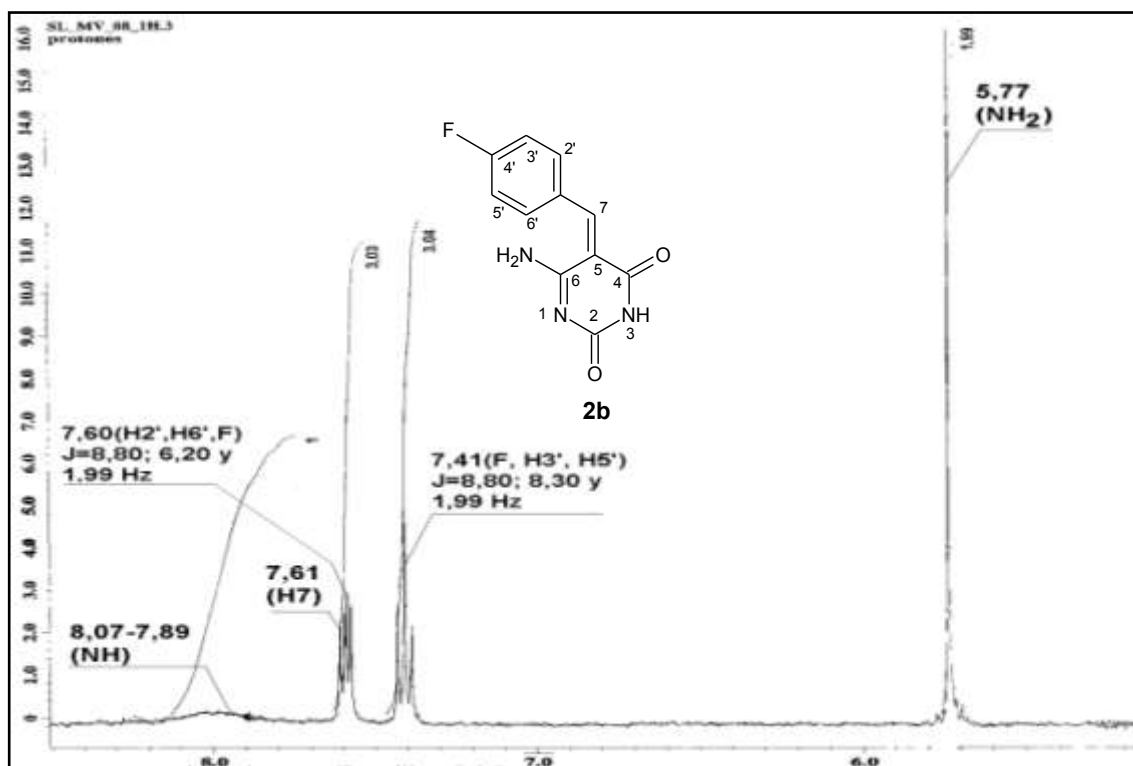


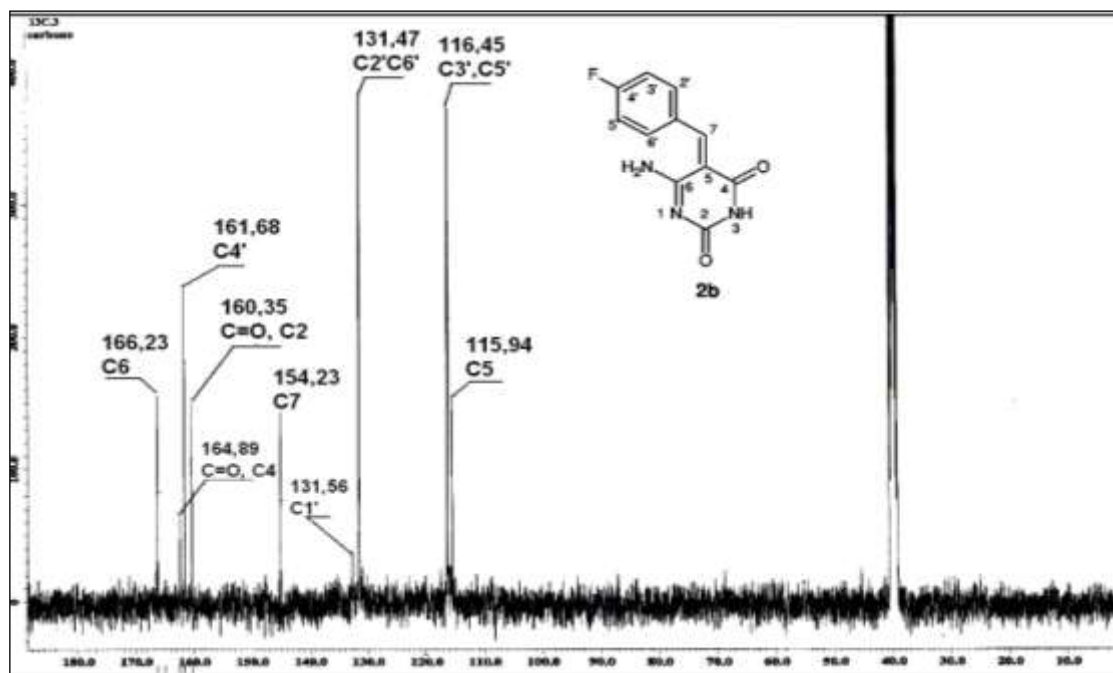
Espectro de RMN-<sup>1</sup>H (DMSO<sub>6</sub>) de 2a.



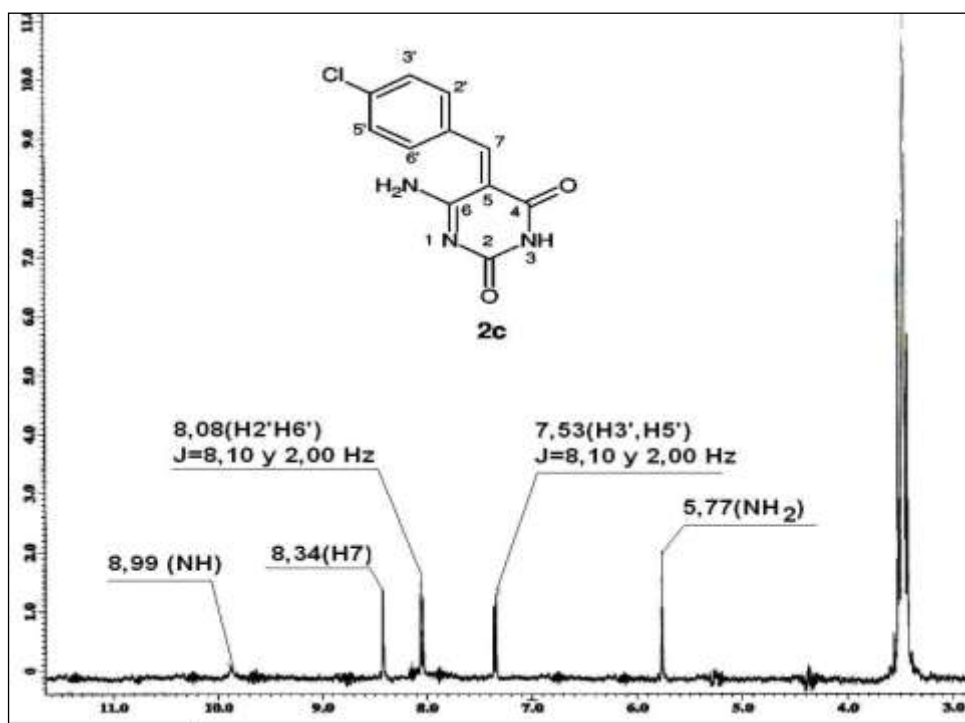
Espectro de RMN-<sup>13</sup>C (DMSO<sub>6</sub>) de 2a.



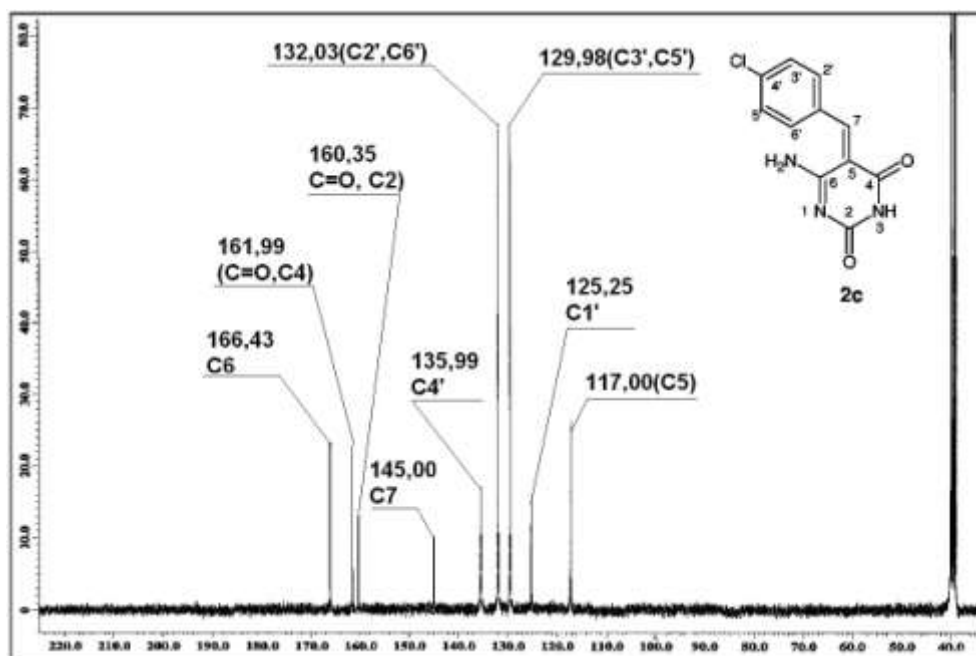
Espectro de RMN-<sup>1</sup>H (DMSO<sub>6</sub>) de **2b**.



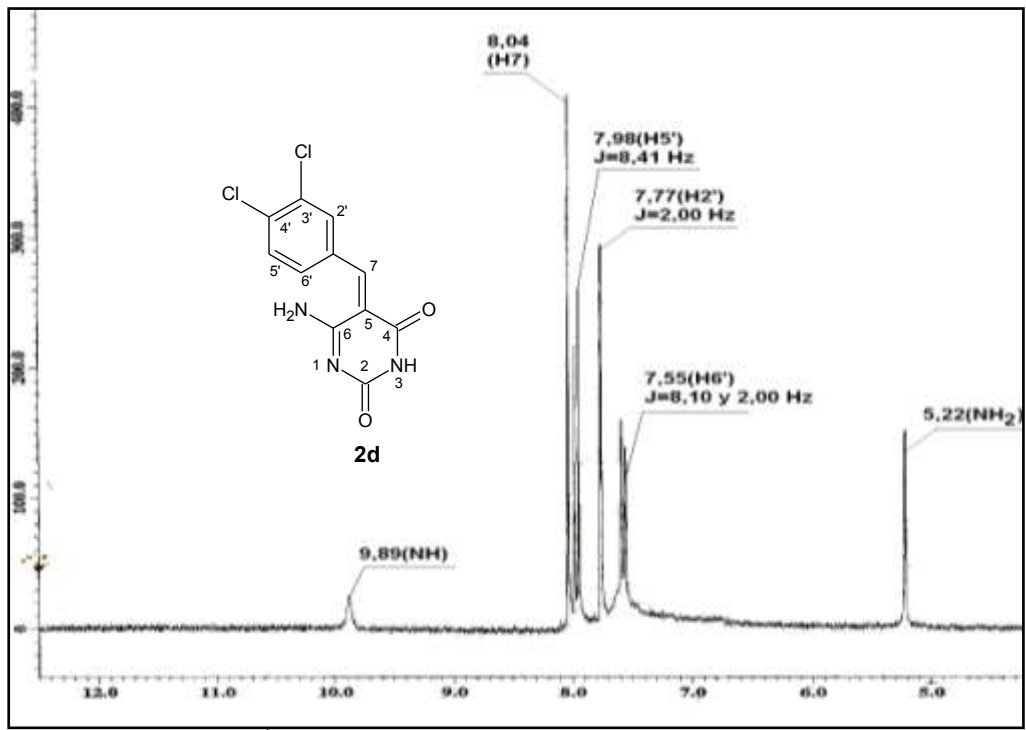
Espectro de RMN-<sup>13</sup>C (DMSO<sub>6</sub>) de **2b**.



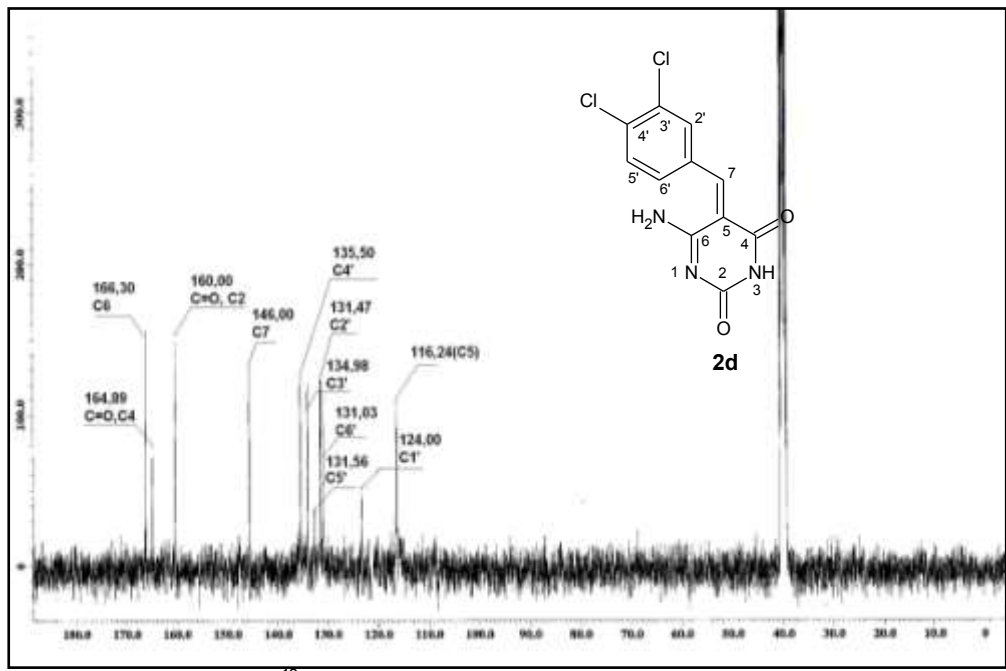
Espectro de RMN-<sup>1</sup>H (DMSO<sub>6</sub>) de 2c.



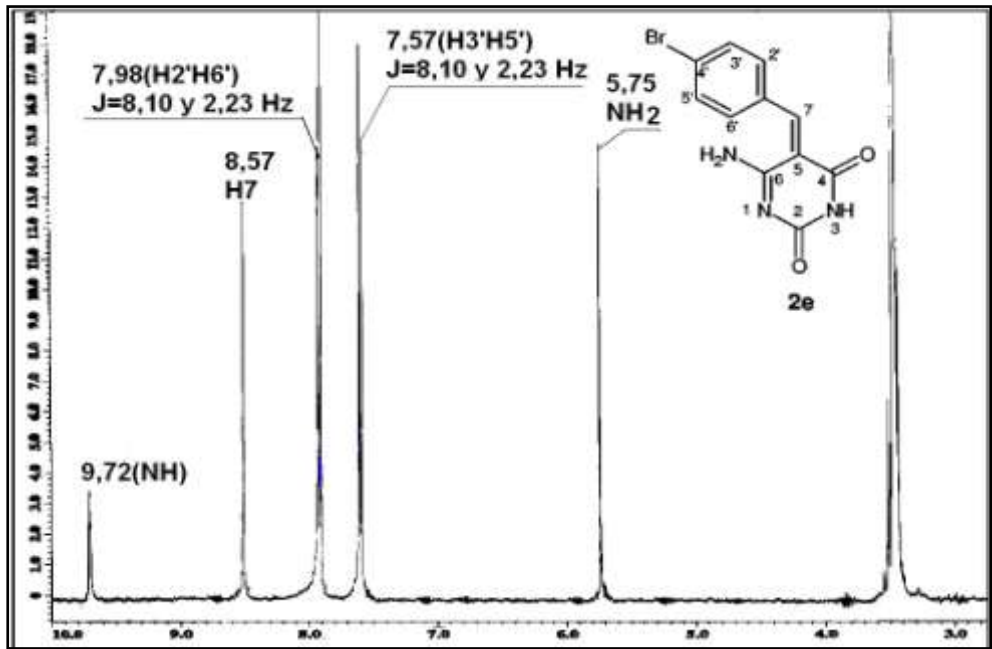
Espectro de RMN-<sup>13</sup>C (DMSO<sub>6</sub>) de 2c



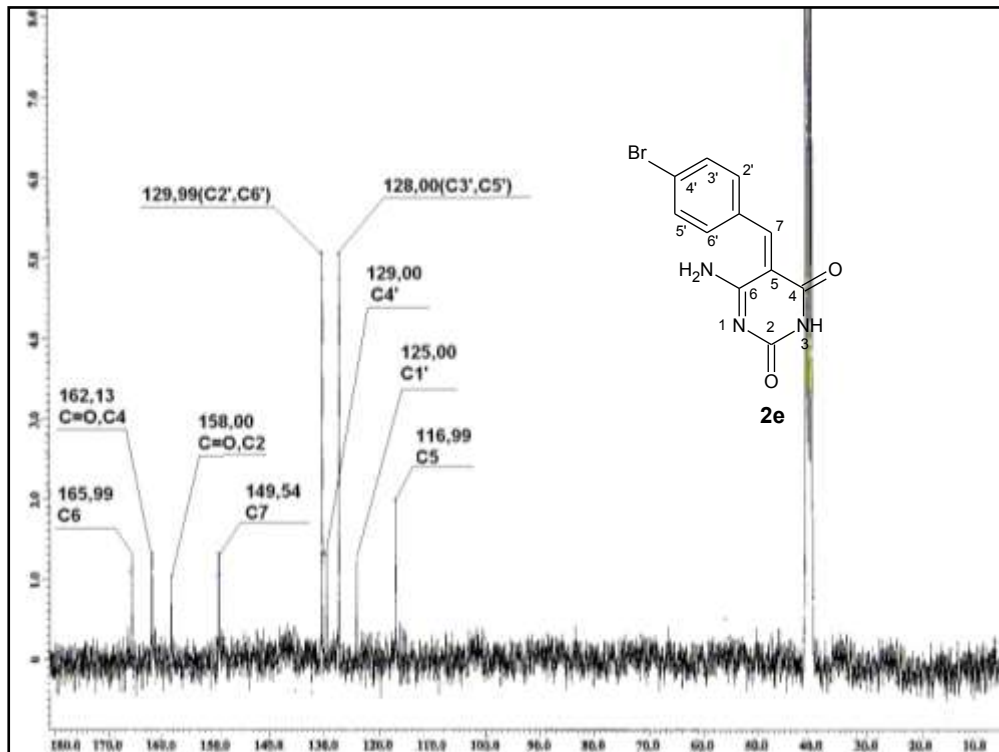
Espectro de RMN <sup>1</sup>H (DMSO<sub>6</sub>) de **2d**.



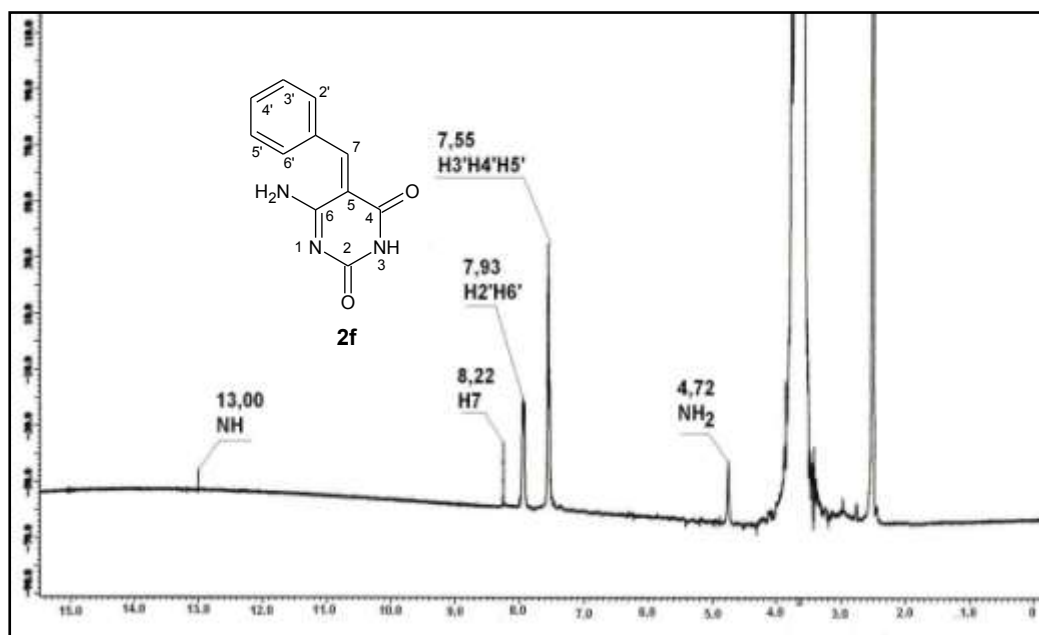
Espectro de RMN <sup>13</sup>C (DMSO<sub>6</sub>) de **2d**.



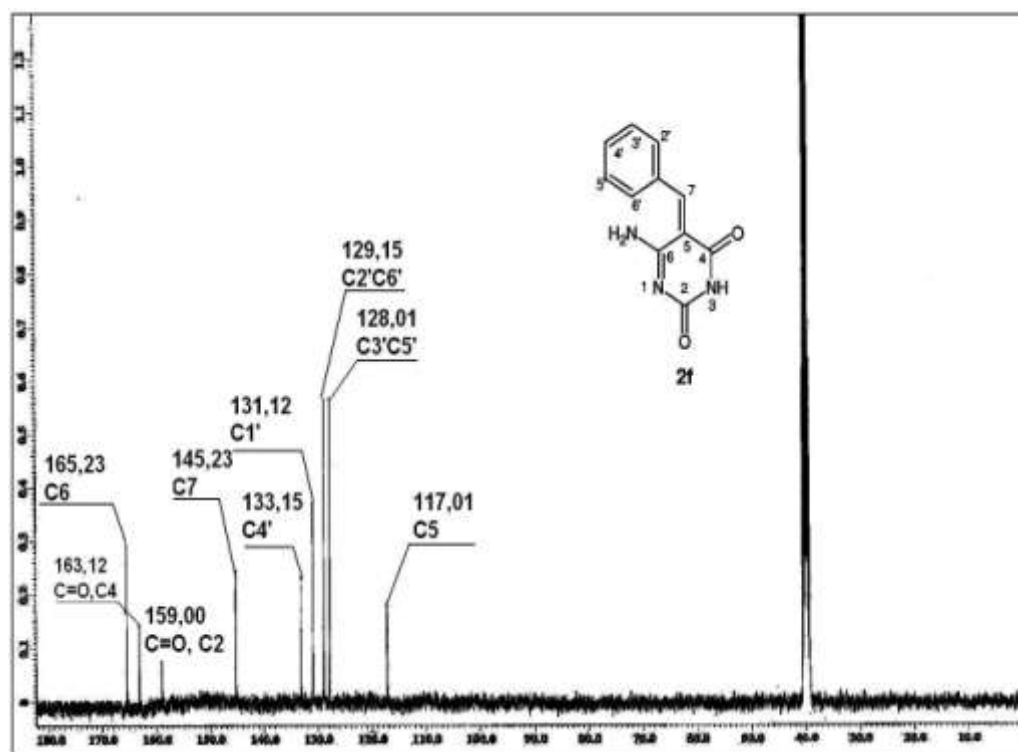
Espectro de RMN  $^1\text{H}$  ( $\text{DMSO}_d_6$ ) de **2e**.



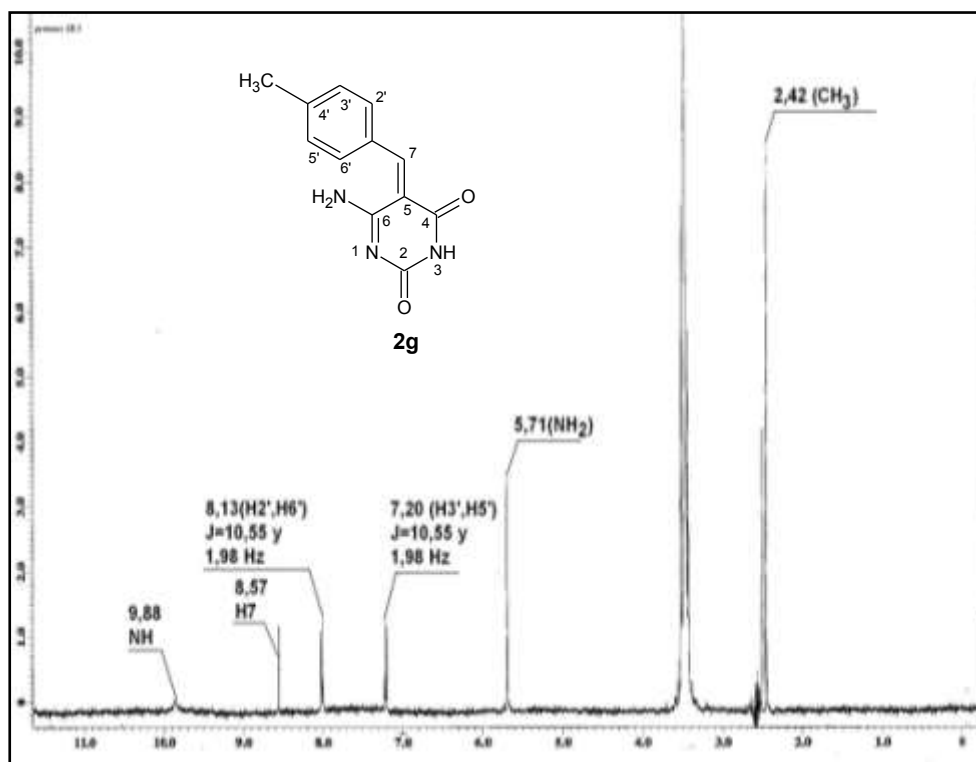
Espectro de RMN  $^{13}\text{C}$  ( $\text{DMSO}_d_6$ ) de **2e**.



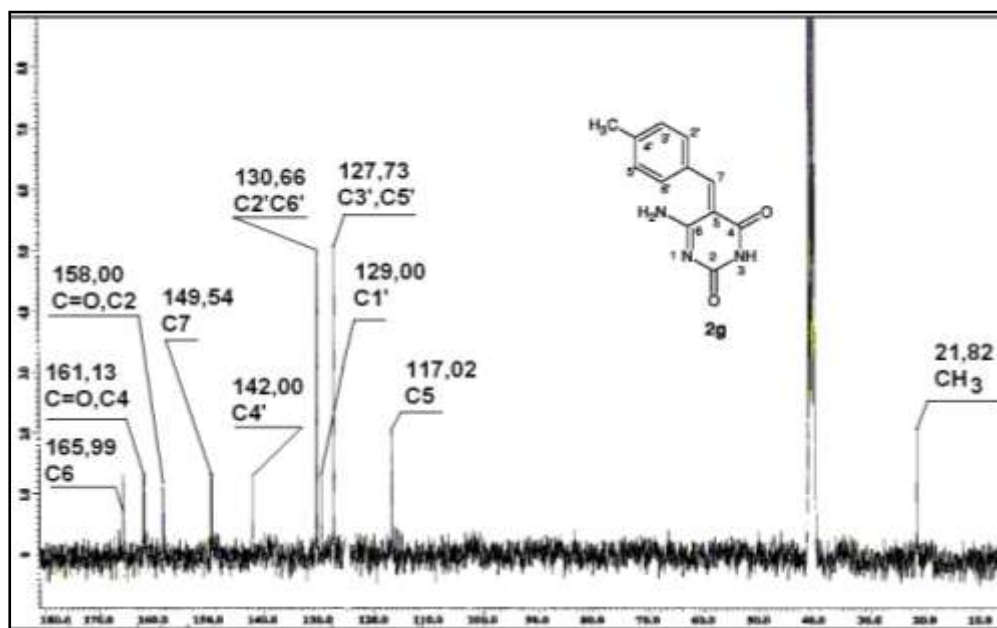
Espectro de RMN-<sup>1</sup>H (DMSO<sub>6</sub>) de 2f.



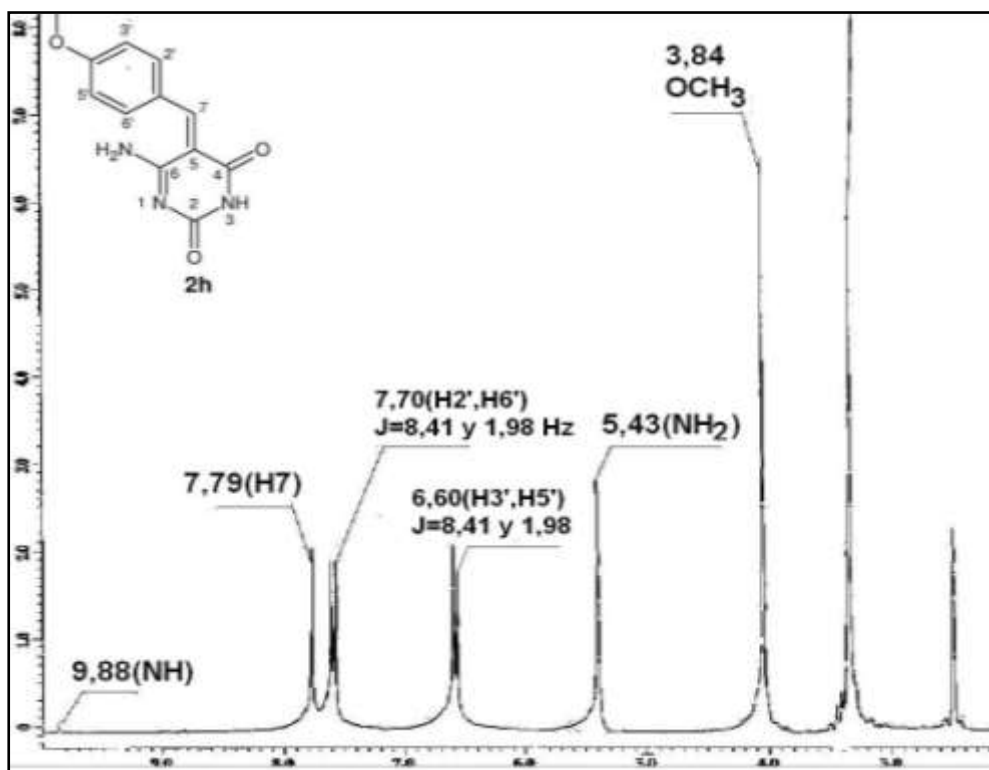
Espectro de RMN-<sup>13</sup>C (DMSO<sub>6</sub>) de 2f.



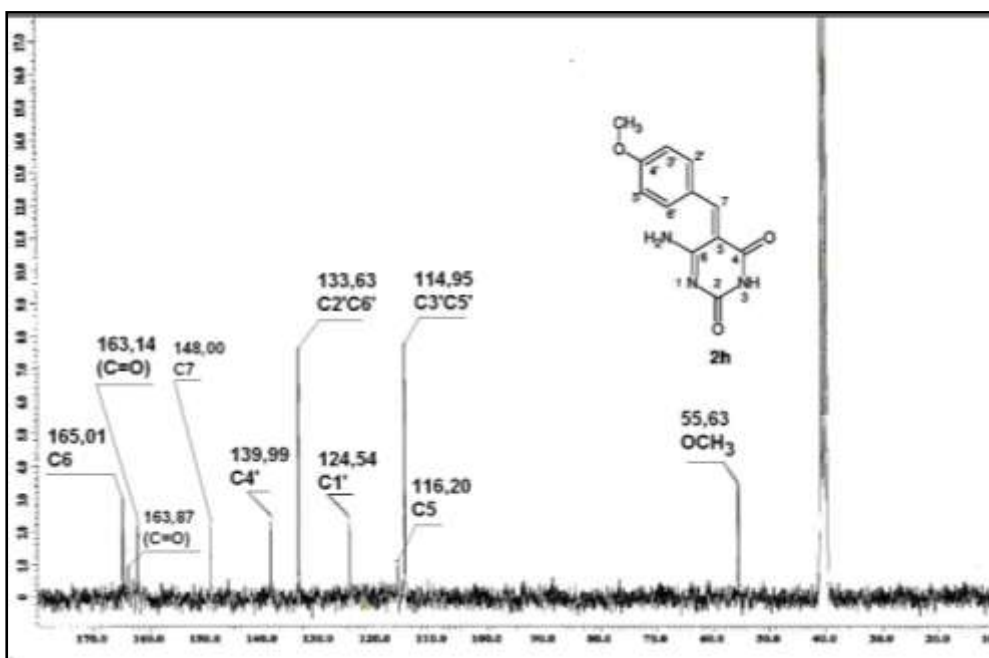
Espectro de RMN- $^1\text{H}$  (DMSO $_d_6$ ) de **2g**



Espectro de RMN- $^{13}\text{C}$  (DMSO $_d_6$ ) de **2g**

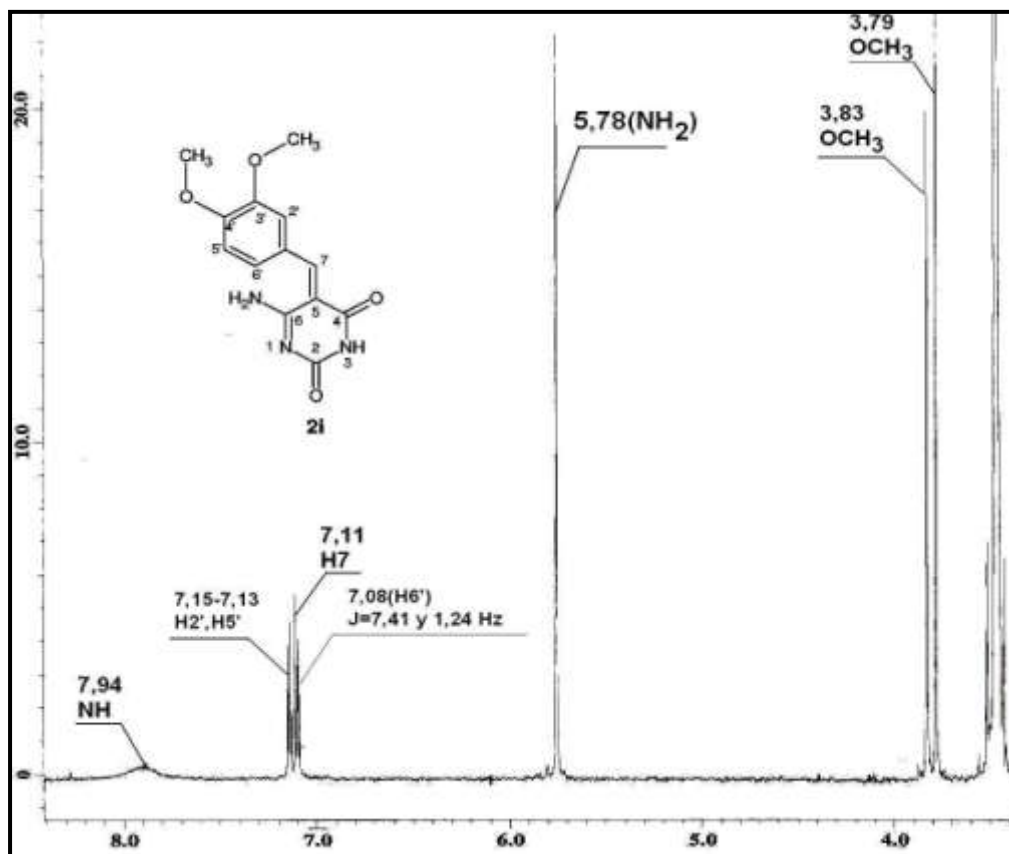


Espectro de RMN-<sup>1</sup>H (DMSO<sub>6</sub>) de 2h

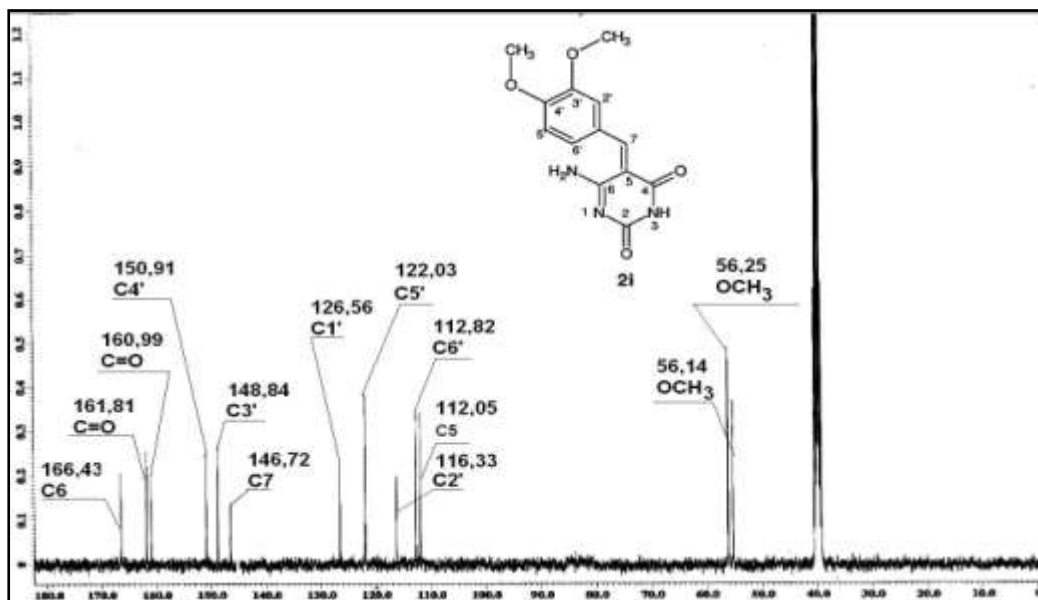


Espectro de RMN-<sup>13</sup>C (DMSO<sub>6</sub>) de 2h

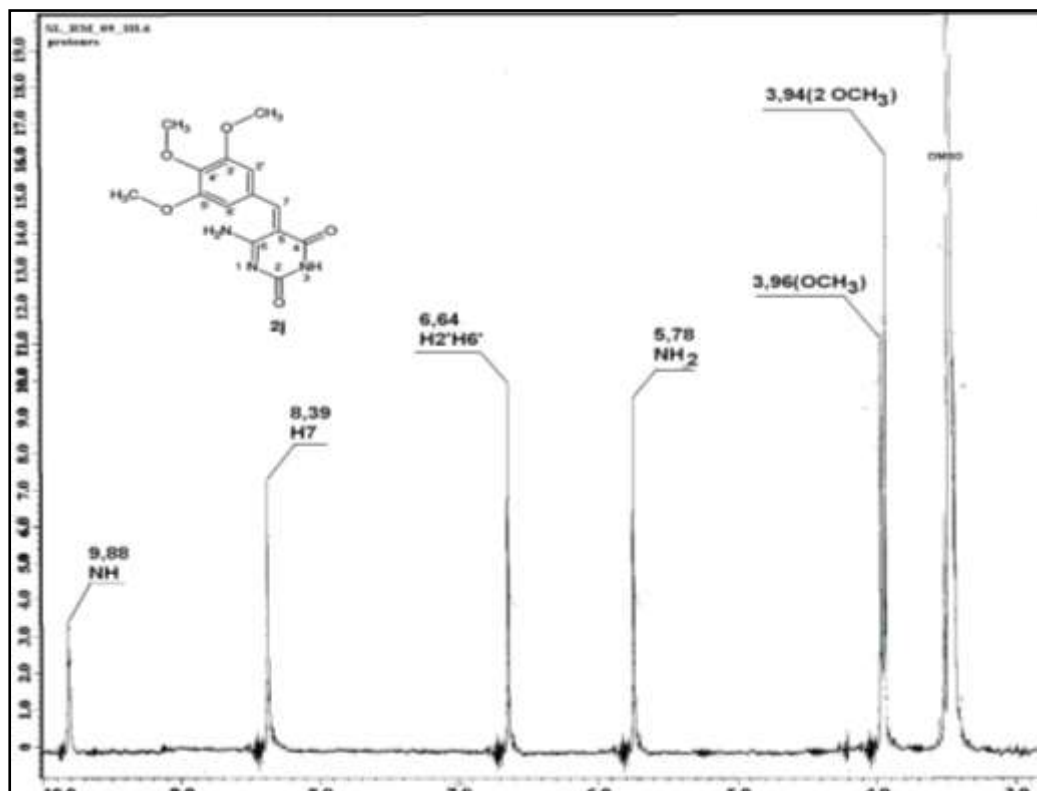




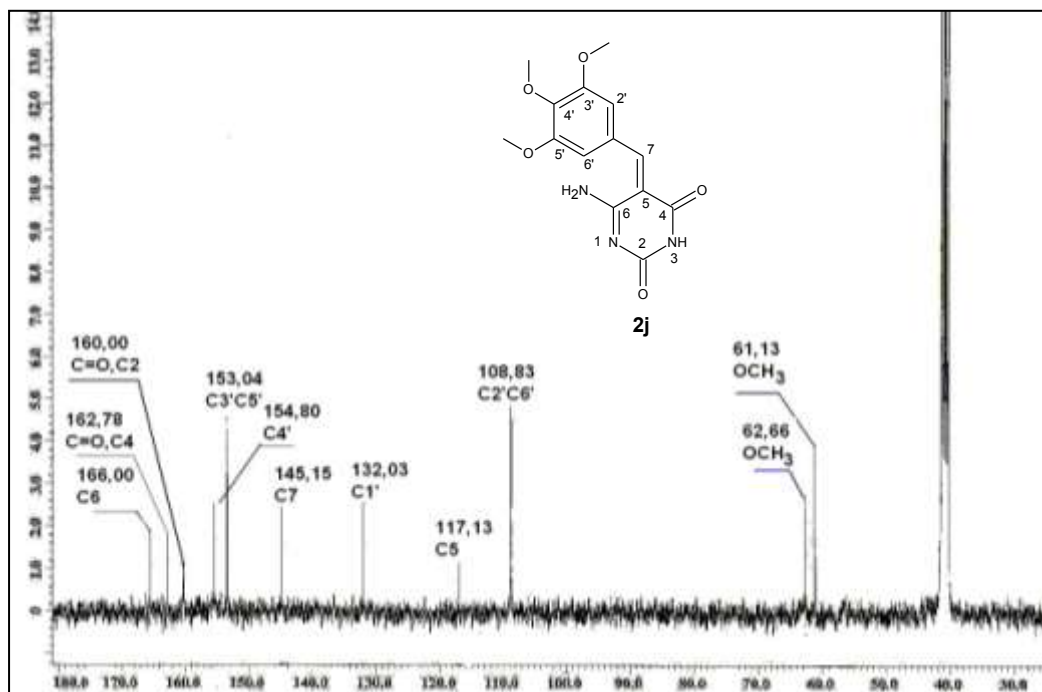
Espectro de RMN- $^1\text{H}$  (DMSO $_d_6$ ) de 2i



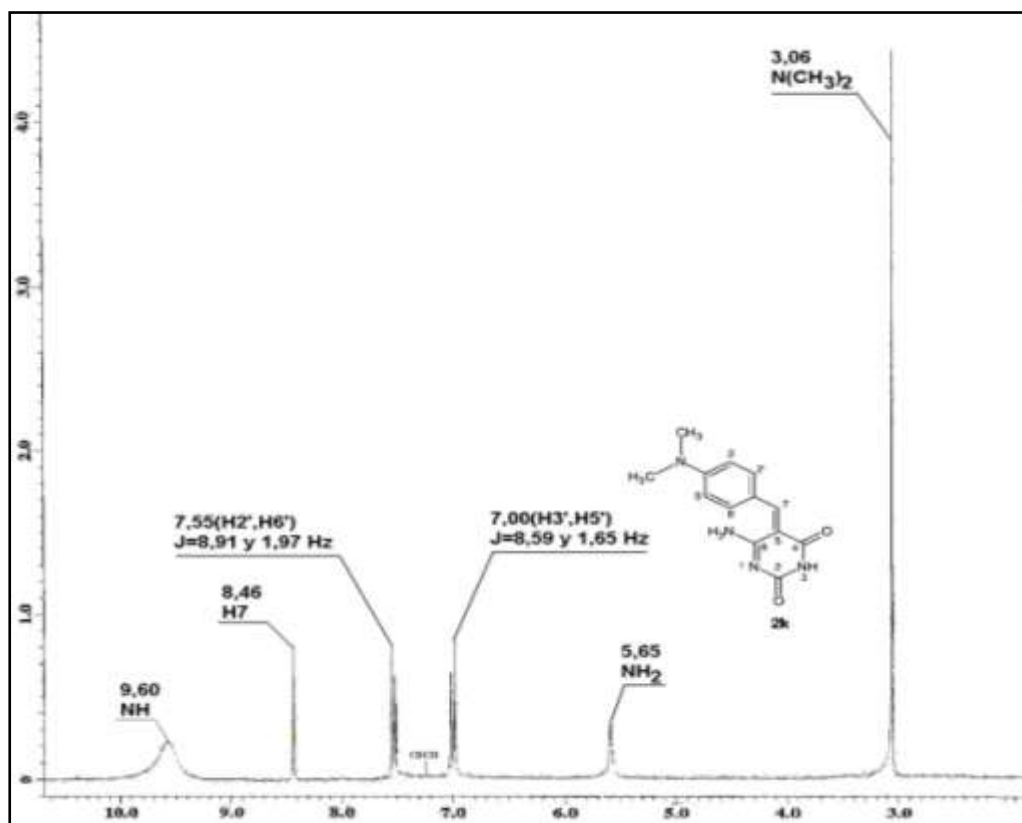
Espectro de RMN- $^{13}\text{C}$  (DMSO $_d_6$ ) de 2i



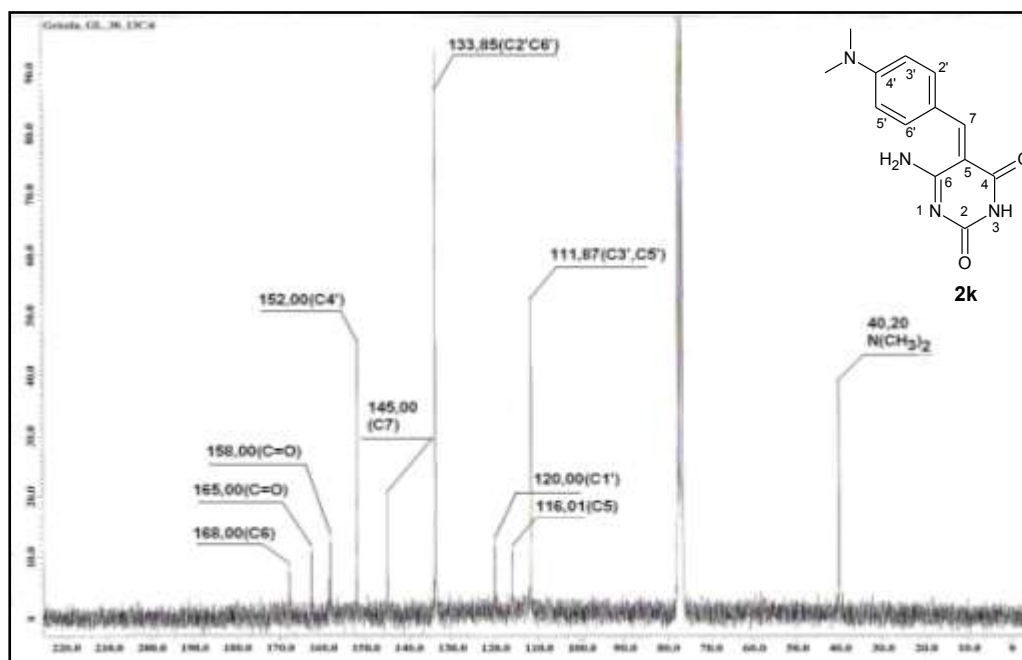
Espectro de RMN-<sup>1</sup>H (DMSO<sub>6</sub>) de **2j**



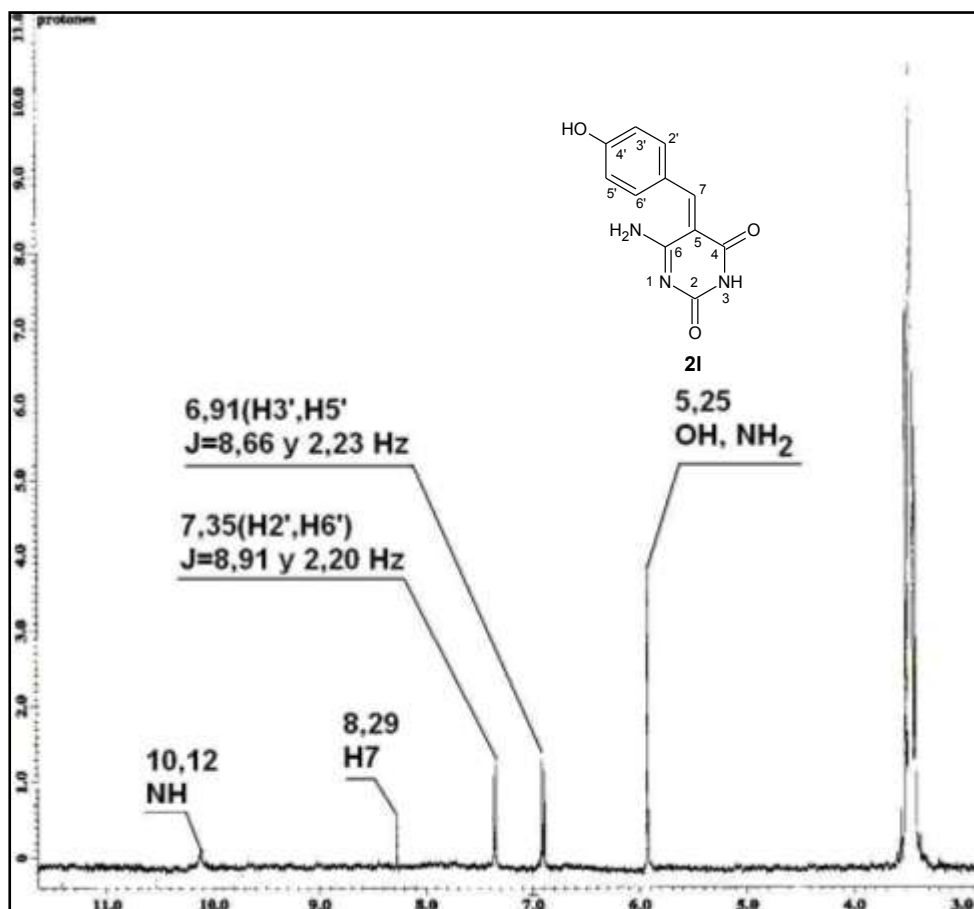
Espectro de RMN-<sup>13</sup>C (DMSO<sub>6</sub>) de **2j**



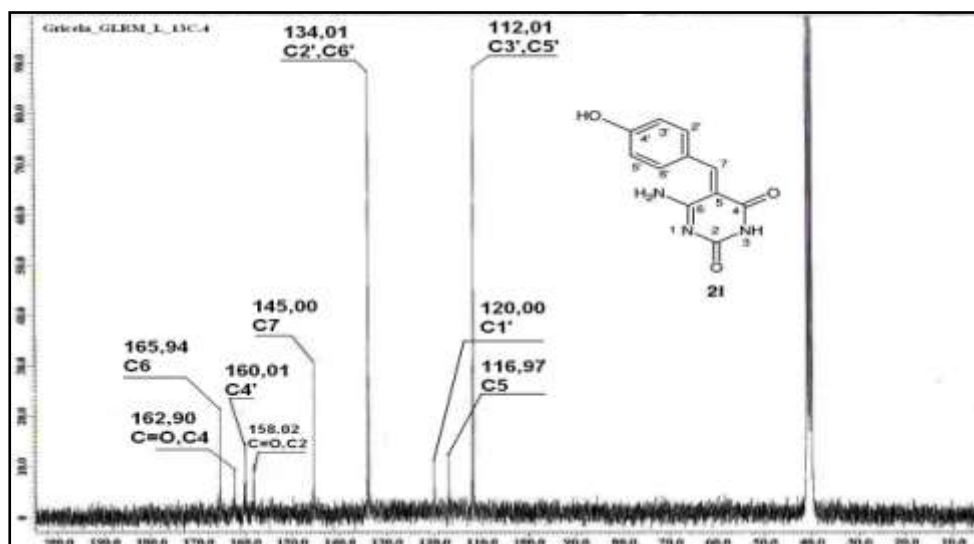
Espectro de RMN-<sup>1</sup>H (CDCl<sub>3</sub>) de **2k**



Espectro de RMN-<sup>13</sup>C (CDCl<sub>3</sub>) de **2k**



Espectro de RMN-<sup>1</sup>H (DMSO<sub>6</sub>) de 21



Espectro de RMN-<sup>13</sup>C (DMSO<sub>6</sub>) de 21

